

(552) ばね鋼の疲労強度の破壊力学的検討

○増田千利、田中義久、西島敏（金材技研）

1. まえがき

ばね鋼は機器の高性能化に伴い、高強度化の傾向にある。本報ではばね鋼¹⁾の疲労特性に対する破壊起点の欠陥寸法や破壊機構などを調べ、破壊力学的立場から解析する。

2. 実験方法

供試材はJIS SWOSC-Vに相当するSAE9254弁ばね鋼3チャージ（以下サンプルA,B,Cと呼び分ける）で、JIS清浄度はdT<0.005でサンプルA,C,Bの順になっていた。試験材は線径4.0mmで表面にショットビーニングが施されている。機械的性質はチャージ間で差は小さく、硬さ約HV600、引張り強度約1950N/mm²であった。また残留応力σ_R分布もほぼ同じで、表面で約-500N/mm²、深さ0.07mmで最大約-640N/mm²であり深さ約0.2mmで0となっていた。

疲労試験は小野式回転曲げ試験機を用いて室温大気中で行った。

3. 結論

- サンプルB,Cの回転曲げ疲労特性はFig.1に示すように短寿命側で表面破壊、長寿命側で内部破壊となりS-N曲線に2段の折れ曲がりが認められ、N_f=10⁸まで明瞭な疲労限は現れない。サンプルAの材料では全て表面破壊のみで明瞭な疲労限が認められた。
- Photo.1(a)は内部破壊の破面で、Oに白く見えるのが介在物で破壊の起点となっていた。(b)は表面のショットビーニングによる微小割れから成長した疲れき裂(F)である。これは長寿命側で内部破壊をしていない部分にも見られた。

3) Fig.2は試験片内部の作用応力分布（点線）、作用応力拡大係数の分布（実線）、及び応力拡大係数の下限界領域（斜線部）を模式的に示したものである。△Kとしては、破壊起点となる介在物寸法2a(=10,30,60μm)及び表面き裂2b(=15,50μm)を基にを式(1)により計算した。△K_{th}としては残留応力を応力比Rとして考慮し式(2)から計算した。例えば2b=50μmの表面き裂があつても図示のように斜線の領域内にあるため伝ばは起ららないが、このとき2a=30μmの介在物が内部にあれば、それを起点とした疲労破壊が生じることがある。しかしσ_aがもっと高い場合には表面き裂の伝ばが優先的に起こる。これから表面及び内部破壊の限界応力を推定すると本実験の場合約900N/mmとなる。

$$\Delta K = 2/\pi (M \Delta \sigma (\pi a)^{1/2}) \quad (1)$$

$$\Delta K_{th} = \beta (1-R)^{0.7}, \beta = 3.68 \text{ MN/m}^{3/2} \quad (2)$$

式(1)のMは補正係数で内部破壊でM=1.0表面破壊でM=1.12である。

本研究はばね技術研究会の非金属介在物評価法に係わる共同研究に関連して行ったものである。4.文献 1)ばね論文集、Vol32(1987)52.

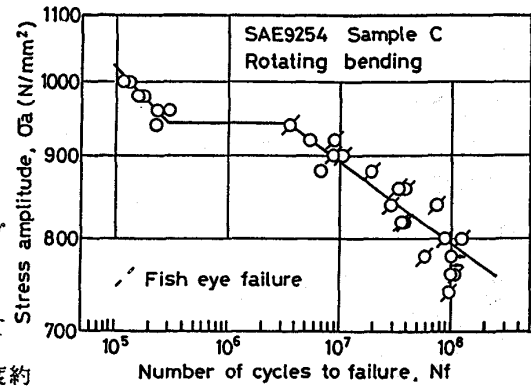


Fig.1 S-N diagram (sample C)

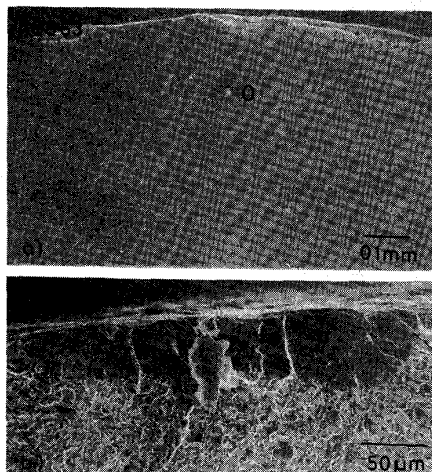


Photo. 1 Fractographs (a) fish eye failure, (b) surface crack

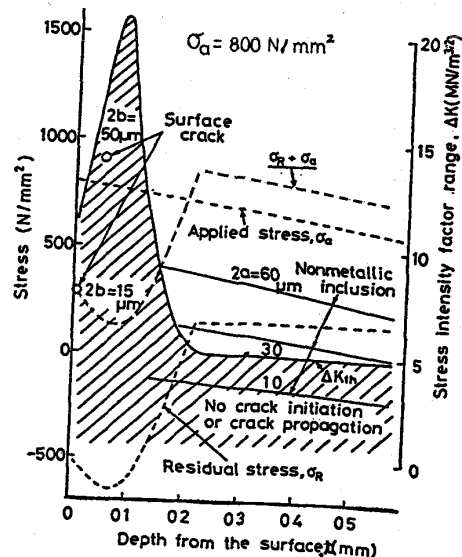


Fig.2 Relation between ΔK and t.